

МОСКОВСКИЙ ГОСУДАРСТВЕННЫЙ УНИВЕРСИТЕТ  
им. М. В. ЛОМОНОСОВА

НАУЧНО-ИССЛЕДОВАТЕЛЬСКИЙ ИНСТИТУТ ЯДЕРНОЙ ФИЗИКИ  
ЛАБОРАТОРИЯ ЯДЕРНЫХ РЕАКЦИЙ

И. С. Дмитриев, Я. А. Теплова, В. С. Николаев  
ЭКСПЕРИМЕНТАЛЬНЫЕ ИССЛЕДОВАНИЯ С БЫСТРЫМИ  
МЕТАСТАБИЛЬНЫМИ АТОМАМИ И ИОНАМИ

Лекции

Игорь Сергеевич Дмитриев,  
Яна Анатольевна Теплова,  
Валентин Сергеевич Николаев

ЭКСПЕРИМЕНТАЛЬНЫЕ ИССЛЕДОВАНИЯ С БЫСТРЫМИ  
МЕТАСТАБИЛЬНЫМИ АТОМАМИ И ИОНАМИ

Лекции

---

Редактор издательства Р. Д. Солод  
Редактор Э. П. Чикова  
Ответственный за выпуск В. С. Николаев  
Техническое оформление Т. В. Юдина

---

Подписано к печати 21.03.77г. №-88268.  
Формат 60x801/16. Бумага офс. №1 (80 гр.).  
Уч.-изд. л. 4,2.  
Заказ №406. Тираж 200 экз. Цена 15 коп.

Издательство  
Московского университета  
Москва, К-9, ул. Георгия, 5/7.  
Отпечатано в Центральной лаборатории офсетной печати  
и множительной техники НИИЯФ - МГУ

Издательство Московского университета  
1977















быстрых ионов, прошедших через мишени, существенно зависит от элементарного процесса, с помощью которого образуется такая частица. Наиболее подробно были изучены простейшие процессы обмена одним электроном: захват электрона водородоподобными ионом для образования гелиеподобных частиц [14] или гелиеподобными ионами для образования атоионизирующихся литиеподобных частиц, при потере электрона литиеподобными ионами, при непосредственном возбуждении гелиеподобных ионов [17], а также при прохождении начального пучка через твердую пленку [13, 14].

#### 1.1.3. Экспериментальные зависимости

Для гелиеподобных ионов  $H_i^+$ ,  $Be^{+2}$ ,  $B^{+3}$ ,  $C^{+4}$ ,  $N^{+5}$  и  $O^{+6}$  были измерены кривые зависимости  $\Phi_{(i)}$  от  $T$  для трех процессов: потери электрона, прямого возбуждения и захвата электрона, с помощью которых образовывались двухэлектронные ионы. Результаты этих измерений представлены на рис.3. На кривой, описывающей захват электронов водородоподобными ионами, наблюдается заметный рост  $\Phi_{(i)}$ , при уменьшении толщины мишени, для первых "потери" и "возбуждения" зависимость  $\Phi_{(i)}$  от  $T$  мала, таким образом, максимальное значение  $\Phi_{(i)}$  получено для случая "захвата". Минимальное значение наблюдалось при образовании гелиеподобных ионов в процессе потери электрона литиеподобными ионами (рис.3).

Случай непосредственного возбуждения гелиеподобных ионов показал (сложной динамикой кривой  $\Phi_{(i)}$  от  $T$ ) для разных ионов), что в пучках из ускорителя, и особенно после перезарядки в мишени, практически в той или иной степени всегда присутствуют возбужденные частицы, поэтому при столкновении с атомами остаточного газа и газа в камере столкновений конкурируют процессы возбуждения и разрушения метастабильных частиц.

Для легких ионов  $H_i$ ,  $Be$  и  $B$  можно определить эффективное се-

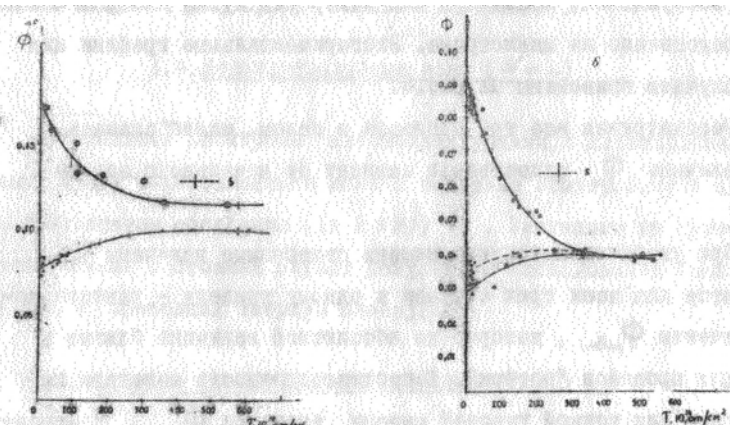
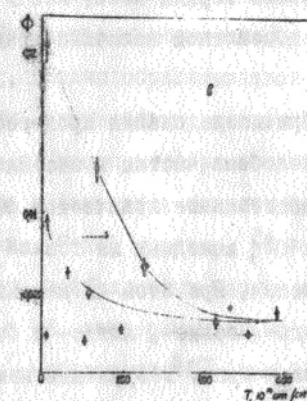


Рис.3. Зависимость  $\Phi_{(i)}$  от толщины газовой аргоновой мишени: φ - образование гелиеподобных ионов в процессе захвата электрона водородоподобными ионами, φ - при потере электрона трехэлектронным ионом, φ - процесс непосредственного возбуждения гелиеподобных ионов, ----φ - величина  $\Phi_{(i)}$  для пучка ионов, прошедших через твердую мишень,  $U = 8 \cdot 10^8 \text{ В/см}^2$ ; а - ионы  $H_i$ , б - ионы  $Be$ , в - ионы  $N$ .



чение возбуждения, используя для измерений пучки быстрых ионов непосредственно из циклотрона. Экспериментальные графики для этих случаев приведены на рис. 4.

Рассматривая все три процесса в целом, можно сказать, что величины  $\Phi_{i,i+1}$  существенно зависят от начального заряда иона.

При увеличении толщины мишени измеряемые величины  $\Phi_{i,i+1}$  стремятся для всех трех случаев к одному пределу – равновесному значению  $\Phi_{\text{равн.}}$ , которое по абсолютной величине близко к  $\Phi_{i,i+1}$  для процесса "потери". В противоположность явлениям характерным для тонкой газовой мишени значение  $\Phi_{i,i+1}^{18}$ , измеренное в пучке, прошедшем через твердую мишень, не зависит от начального заряда иона, как и для толстой газовой мишени, хотя по абсолютной величине превосходит предел для равновесия в газе.

При исследовании процессов образования автоионизующихся литиеподобных частиц в состояниях  $(1s2s2p)^3P_{1/2}$  измерялось их относительное количество  $\alpha$  в пучках ионов  $\text{Be}^+$ ,  $\text{B}^{+2}$ ,  $\text{C}^{+3}$ ,  $\text{N}^{+4}$  и  $\text{O}^{+5}$ , вышедших из тонкой аргоновой мишени или целлULOидной пленки. При этом на мишень последовательно направлялись водород-, гелие-, лити- и бериллиеподобные ионы соответствующих элементов. Результаты измерений величин  $\Phi_{i,i+1}$  (а также соответствующих значений  $\alpha$ ) для ионов углерода и бора в зависимости от толщины  $T$  газовой мишени представлены на рис. 5. Пониженные значения величин  $\Phi_{i,i+1}$  в области  $T < 2 \cdot 10^{15}$  ат/см<sup>2</sup> объясняются тем, что при малых толщинах  $T$  автоионизующиеся частицы образовывались в основном в результате взаимодействия быстрых ионов с атомами остаточного газа на больших расстояниях от магнитного сепаратора и поэтому в значитель-

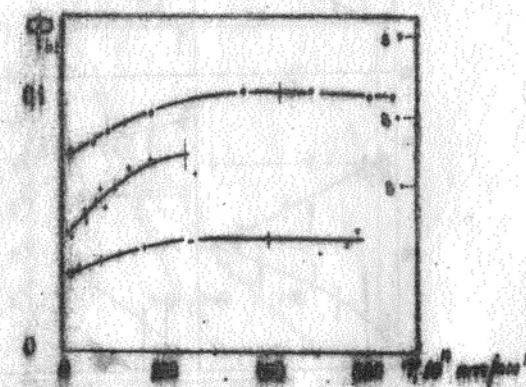


Рис.4. Зависимость величин  $\Phi_{i,i+1}$  от толщины газовой аргоновой мишени (после прохождения гелиеподобных ионов через мишень):  $\diamond$  – ионы лития,  $v = 1.0 \cdot 10^{16}$  см/с,  $\circ$  – ионы бериллия,  $v = 8.0 \cdot 10^{15}$  см/с,  $\dots$  – ионы бора,  $v = 8.0 \cdot 10^{15}$  см/с,  $-$  – ионы углерода,  $v = 1.0 \cdot 10^{16}$  см/с, – – – – ионы азота,  $v = 1.0 \cdot 10^{16}$  см/с – – – – – после прохождения соответствующих ионов через твердую мишень.







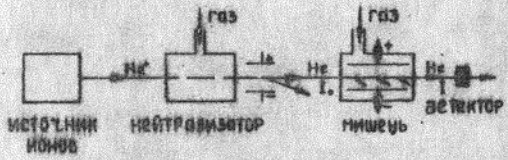


Рис.7. Схема экспериментальной аппаратуры, используемой группой Гилбоди [8,15].

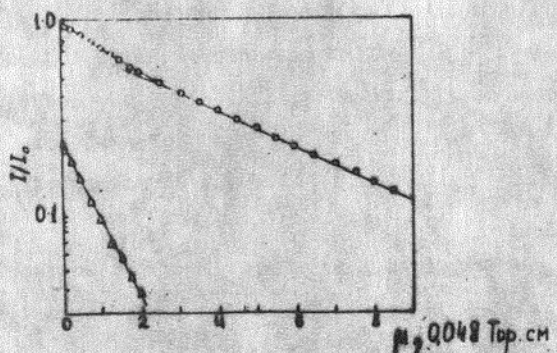


Рис.8. Пример экспериментальной кривой, полученной по методу ослабления интенсивности пучка (Гилбоди). Зависимость  $I/I_0$  для атомов гелия (200 кэВ) от давления водорода  $P$  в камере столкновений:  $\circ$  - экспериментальные точки,  $\triangle$  - вычисленные [8] точки.

Схема измерений Гилбоди: пучок быстрых ионов  $\text{He}^+$  (из ускорителя) нейтрализуется в газовой камере, захватывая электрон при столкновении с атомами газа, затем проходит в камеру столкновений, где ослабляется его интенсивность в зависимости от толщины газа в камере. Вторичные заряженные частицы, образовавшиеся в камере, убираются электрическим полем, окружающим камеру столкновений, а нейтральные атомы регистрируются по выходе из камеры детектором. Расстояние между нейтрализатором и камерой столкновений подобрано таким образом, что все короткоживущие возбужденные ионы распадаются до камеры столкновений.

Для расширения возможного диапазона измерений схема дополнена приспособлением для регистрации спектра распада возбужденных состояний атома гелия. Предусмотрена и используется возможность измерения на симметричных пучках (реакция  $\text{H}^+ + \text{He}^+$ ) и на щелочных элементах ( $\text{Na}, \text{K}$ ) в парах металлов. Аналогичные измерения описаны в работах [10, 19, 20].

Группа югославских физиков [10] использует в экспериментах другой вариант аппарата, где камера столкновений одновременно является электростатическим анализатором, что улучшает контроль за отбором заряженных частиц после столкновения (рис.9).

### Г.3. Отходные методы измерений

В области энергии ионов  $E < 30$  кэВ, когда метод "ослабления" пучка неприменим, значения  $\sigma$  измеряются методом, близким к масс-спектрометрическому с использованием резонансного вы辉ивания возбужденных ионов в парах цезия [21].

Присутствие возбужденных долгоживущих частиц в пучке может быть определено по аномальной зависимости сечений захвата

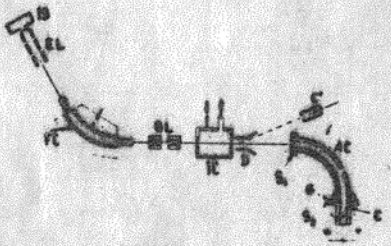


Рис.9. Схема аппаратуры Института Физики им. Б.Кидрича (Белград); I - источник ионов (магнетрон), FC - фильтрующая камера в магнитном поле для формирования пучка, L - квадрупольные линзы, C - камера, наполненная газом для измерения сечений изменения заряда, AC - детектор заряженных частиц, EC - электростатический анализатор-камера ослабления, D - электростатический дефлектор, G - охранный электрод, SS - диафрагмы.

электронов многозарядными ионами от заряда иона/22/.

Для изучения возбужденных состояний водорода, используют их способность разрушаться в сравнительно небольшим по напряженности электрическом поле ( $E \sim 2$  кВ/см)/1/.

Для измерения времени жизни  $\tau$  возбужденных состояний ионов в большинстве работ используется "времяпролетный" метод. В последнее время предложен новый метод определения  $\tau$  по сдвигу энергетических уровней атома или возбужденного иона/23/. Очень точные результаты по измерению  $\tau$  дает метод лазерного возбуждения/24/, позволяющий измерять  $\tau$  с точностью до 0,1%.

#### ПО СЕЧЕНИЯХ ПОТЕРИ И ЗАХВАТА ЭЛЕКТРОНОВ ДЛЯ ПУЧКОВ МНОГОЗАРЯДНЫХ ИОНОВ, СОДЕРЖАЩИХ ВОЗБУЖДЕННУЮ КОМПОНЕНТУ

Присутствие метастабильной компоненты в пучках быстрых многозарядных ионов, как указывалось в разделе I, влияет на величины измеряемых на опыте сечений изменения заряда. При работе с таким смешанным пучком измеряемая величина среднего сечения потери или захвата электрона дается выражением

$$\bar{\sigma} = (1-\alpha)\sigma^0 + \alpha \sum \sigma^*$$
 (16)

и, следовательно, зависит от относительного количества метастабильных частиц в пучке  $\alpha$ , или, другими словами, от способа образования ионов данного заряда. В формуле (16) предполагается, что время жизни возбужденных ионов  $\tau$  достаточно велико и можно пренебречь вероятностью изменения состояния иона при прохождении их через камеры отоливований.